

第六章

6.2 解:

$$\begin{cases} \omega = 2\pi f \\ f = \omega / 2\pi \end{cases}$$

$$\Rightarrow f = \frac{1}{2\pi} \omega$$

$$\textcircled{1} \frac{1}{T} = 10 \text{ kHz} \quad f = \frac{1}{2\pi} \cdot \frac{\pi}{8} \cdot 10 \text{ kHz} = 0.625 \text{ kHz}$$

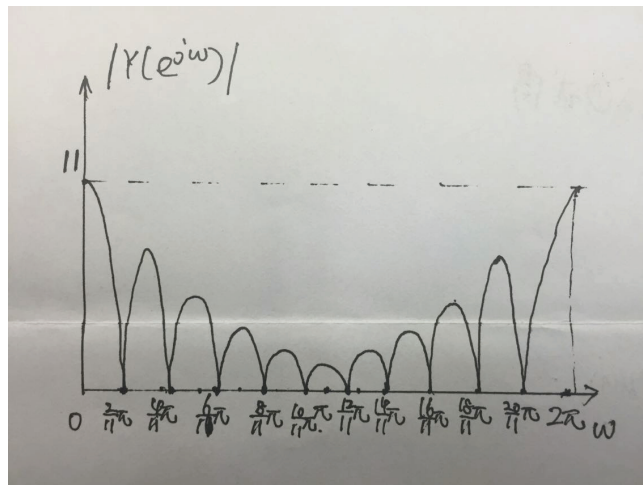
$$\textcircled{2} \frac{1}{T} = 20 \text{ kHz} \quad f = \frac{1}{2\pi} \cdot \frac{\pi}{8} \cdot 20 \text{ kHz} = 1.25 \text{ kHz}$$

6.4

解:

$$\text{依题意得 } Y(e^{j\omega}) = \sum_{n=-\infty}^{\infty} R_{11}(n) e^{-j\omega n} = \sum_{n=0}^{10} e^{-j\omega n} = \frac{1 - e^{-11j\omega}}{1 - e^{-j\omega}} = e^{-5j\omega} \frac{\sin(\frac{11}{2}\omega)}{\sin(\frac{\omega}{2})}$$

其幅值 $|Y(e^{j\omega})| = \frac{\sin(\frac{11}{2}\omega)}{\sin(\frac{\omega}{2})}$, 有限长序列的离散时间傅里叶变换是以 2π 为周期的连续函数, 如下图所示给出了一个周期内的幅频响应特性曲线, 而信号经过低通滤波器后高频成分会被滤去, 而 $y(n)$ 的幅度谱是连续的, 高频成分仍然存在, 所以不能找到合适的 $x(n)$ 和 w_c 使得经过低通滤波器后的信号是 $y(n)$ 。



6.5 解:

$$(b) \quad y(n] = [(-1)^n x(n) * h(n)] (-1)^n = \left[\sum_{k=-\infty}^{+\infty} (-1)^{n-k} x(n-k) h(k) \right] \cdot (-1)^n$$

$$= \left[\sum_{k=-\infty}^{+\infty} x(n-k) \cdot (-1)^k h(k) \right] \cdot (-1)^{2n}$$

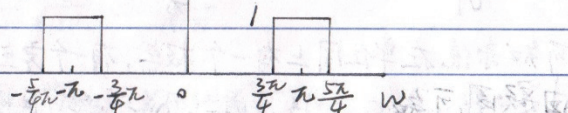
$$= x(n) * (-1)^n h(n)$$

∴ 系统等效为冲激响应为 $(-1)^n h(n)$ 的滤波器。

$$H'(e^{j\omega}) = \sum_{n=-\infty}^{+\infty} (-1)^n h(n) e^{-j\omega n}$$

$$= \sum_{n=-\infty}^{+\infty} h(n) e^{-j\omega n} e^{j\omega n}$$

$$= \sum_{n=-\infty}^{\infty} h(n) e^{j(\omega+\pi)n} = H(e^{j(\omega+\pi)})$$

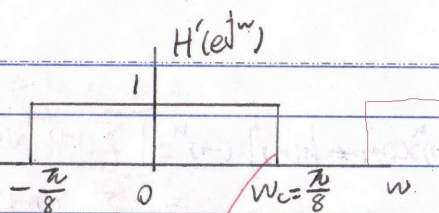


属于高通滤波器。

$$(d) \quad H'(e^{j\omega}) = \sum_{n=-\infty}^{+\infty} h(n) e^{-j\omega n}$$

$$= \sum_{k=-\infty}^{+\infty} h\left(\frac{2k}{2}\right) e^{-j\omega k}$$

$$= H(e^{j2\omega})$$



带阻


属于低通滤波器。

6.8

6.8 (1) 根据图, $20 \lg |H(e^{j\omega})| = +\infty \Rightarrow \frac{1}{H(e^{j\omega})} = 0$
 $\left\{ \begin{array}{l} 20 \lg |H(e^{j\omega})| = +\infty \\ 20 \lg |H(e^{j\omega})| = -\infty \end{array} \right. \Rightarrow \left\{ \begin{array}{l} H(e^{j\omega}) = 0 \\ H(e^{j\omega}) = \infty \end{array} \right.$

且在 ω_3 处有一极大值: 极零点图如下:

(2) 根据零极点分布, 得到系统函数如下:

$$H(z) = \frac{(1 - e^{j\omega_1} z^{-1})(1 - e^{j\omega_2} z^{-1})}{(1 - e^{j\omega_1} z^{-1})(1 - e^{j\omega_2} z^{-1})(1 - re^{j\omega_3} z^{-1})(1 - re^{-j\omega_3} z^{-1})}$$


可知, 该系统的冲激响应为 IIR

∴ 长度为无限长

(3) $T_g(\omega) = -\text{Re} \left\{ z \frac{d \ln[H(z)]}{dz} \right\} \Big|_{z=e^{j\omega}}$

$$= \text{Re} \left\{ \frac{e^{j\omega_1}}{z - e^{j\omega_1}} + \frac{e^{j\omega_2}}{z - e^{j\omega_2}} - \frac{e^{j\omega_3}}{z - re^{j\omega_3}} - \frac{e^{-j\omega_3}}{z - re^{-j\omega_3}} \right\} \Big|_{z=e^{j\omega}}$$

可见, $T_g(\omega)$ 不是常数, $\phi(\omega)$ 非线性.

(4) 由于系统是因果系统, 而在单位圆上有极点

∴ 系统函数 $H(z)$ 的收敛域 $ROC: |z| > 1$.

不包含单位圆 \Rightarrow 不稳定

6.8 解:

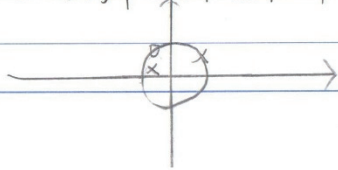
1) 若存在零点, 则知 $20 \lg_{10} |H(e^{j\omega})| = 20 \lg_{10} 0 = -\infty$

若存在极点, 则知 $20 \lg_{10} |H(e^{j\omega})| = 20 \lg_{10} \infty = +\infty$

则由图可知 $H(z)$ 在 $z = e^{j\omega}$ 上有一个零点和一个极点

而图中存在一个极大值点, 可知其为单位圆内的一个极点

\Rightarrow 一共有两个极点, 一个零点.



(2) 可设零极点分别为 $z_1, z_2, z_3, |z_1| = |z_2| = 1, |z_3| < 1$

则 $H(z) = \frac{k(z - z_1)}{(z - z_2)(z - z_3)}$

$\Rightarrow y(n) - (z_2 + z_3)y(n-1) + z_2 z_3 y(n-2) = kx(n-1) - k z_1 x(n-1)$

(3) 假设其为线性相, 则 $H(z^{-1})$ 和 $H(z)$ 必须

有相同零点, 而显然不对

\Rightarrow 非线性相

(4) 由于单位圆上有极点

因果、线性时不变系统 \Rightarrow 系统不稳定

且又是

6.9

$$6.9. (1) y(n) - ay(n-1) = x(n) - a^{-1}x(n-1)$$

$$(2) \begin{cases} 1 - ap^{-1} = 0, & \text{Re } a \leq 1 \\ p \leq 1 \end{cases}$$

$$(3) p = \frac{1}{2}, z = 2.$$

收敛域 $|z| \geq \frac{1}{2}$.



$$(4) H(z) = \frac{1}{1 - az^{-1}} - \frac{1}{az - a^2}.$$

$$\text{则 } h(n) = a^n u(n) - \frac{1}{a} a^{n-1} u(n-1)$$

$$= a^n u(n) - a^{n-2} u(n-1)$$

$$(5) |H(e^{j\omega})| = |1 - a^{-1}e^{-j\omega}| \div |1 - ae^{-j\omega}|$$

$$= \sqrt{(1 - a^{-1}\cos\omega)^2 + (a^{-1}\sin\omega)^2} \div \sqrt{(1 - a\cos\omega)^2 + (a\sin\omega)^2}$$

$$= a^{-2} \sqrt{(a - \cos\omega)^2 + \sin^2\omega} \div \sqrt{(a^{-1} - \cos\omega)^2 + \sin^2\omega}$$

$$= a^{-2} \sqrt{\frac{a^2 - 2a\cos\omega + 1}{a^2 - 2a^{-1}\cos\omega + 1}}$$

$$= a^{-1}$$

$|H(e^{j\omega})| = a^{-1}$, 是全通系统。

- 6.16. (1) 低通: I, II.
 (2) 带通: I, II, III, IV
 (3) 高通: I, IV

- (4) 带阻: I,
 (5) 微分: III, IV

10.2.5 FIR 微分器设计

在许多模拟和数字系统中,微分器常常用来求信号的导数。理想微分器具有与频率成正比的频率响应。这样,理想微分器可以定义为具有频率响应

$$H_d(\omega) = j\omega, \quad -\pi \leq \omega \leq \pi \quad (10.2.82)$$

的微分器。对应于 $H_d(\omega)$ 的单位样本响应为

$$\begin{aligned} h_d(n) &= \frac{1}{2\pi} \int_{-\pi}^{\pi} H_d(\omega) e^{j\omega n} d\omega \\ &= \frac{1}{2\pi} \int_{-\pi}^{\pi} j\omega e^{j\omega n} d\omega \\ &= \frac{\cos \pi n}{n}, \quad -\infty < n < \infty, \quad n \neq 0 \end{aligned} \quad (10.2.83)$$

我们注意到理想微分器的单位样本响应应具有反对称性[即 $h_d(n) = -h_d(-n)$],故 $h_d(0) = 0$ 。

考虑到理想微分器的单位样本响应应具有反对称性,我们只集中考虑 $h(n) = -h(M-1-n)$ 情况下 FIR 的设计,因此我们将考虑在前一小节归类为情形 3 和情形 4 的滤波器类型。

我们回想一下情形 3,其中 M 为奇数, FIR 滤波器的实值频率响应 $H_r(\omega)$ 具有 $H_r(0) = 0$ 特性。当频率为 0 时,响应也为 0,这正是微分器必须满足的条件。从表 10.5 可知那两种类型的滤波器都符合条件。然而,如果需要全频带微分器,就不可能由具有奇数个系数的 FIR 滤波器得到。因为当 M 是奇数时 $H_r(\pi) = 0$ 。但是实际中,很少用到全频带微分器。

在大多数实际应用中,仅仅要求理想频率响应在有限频率范围 $0 \leq \omega \leq 2\pi f_p$ 是线性的,其中 f_p 是微分器的带宽。在频率范围 $2\pi f_p < \omega \leq \pi$, 频率响应可以不加约束或规定为 0。

基于切比雪夫逼近准则设计 FIR 微分器,加权函数在程序中规定为

$$W(\omega) = \frac{1}{\omega}, \quad 0 \leq \omega \leq 2\pi f_p \quad (10.2.83)$$

目的在于保证通带中的相对纹波不变。于是,理想响应 $H_d(\omega)$ 和近似 $H_r(\omega)$ 之间的绝对误差随着 ω 从 0 到 $2\pi f_p$ 变化而增大,然而,在式(10.2.83)中的加权函数确保了相对误差

$$\begin{aligned} \delta &= \max_{0 \leq \omega \leq 2\pi f_p} \{W(\omega)[\omega - H_r(\omega)]\} \\ &= \max_{0 \leq \omega \leq 2\pi f_p} \left[1 - \frac{H_r(\omega)}{\omega} \right] \end{aligned} \quad (10.2.84)$$

在微分器通带内保持不变。